

Research Paper

Design of an Electromagnetic Band Gap Shield for a Ku-Band VSAT Transmitter Power Amplifier

M. Talafi Noghni¹, and P. Aliparast^{2*}

1, 2. Aerospace Research Institute of Iran Ministry of Science, Technology, and Research, Tehran, Iran

*mtnoghani@ari.ac.ir

In this paper, a shielding box is designed for a Ku-band VSAT transmitter power amplifier based on an electromagnetic band gap structure. The proposed structure, is a bed of nails on the inner surface of the top wall of the box. It suppresses cavity resonances in the Ku-band uplink frequency range of 14-14.5 GHz. The amplifier which is composed of two cascaded modules (a pre-amplifier and a 50 W power amplifier) is first imported to a full wave simulation software. Full wave simulation of the printed circuit board (PCB) which includes the small signal scattering parameters of the power amplifier modules, proves the optimum performance of the proposed design.

Keywords: Ku-Band, Band gap structure, Shield, Satellite transmitter

1. Assistant Professor (Corresponding Author)
2. Associate Professor

مقاله علمی - پژوهشی

طراحی محفظه برای یک تقویت‌کننده توان فرستنده ماهواره‌ای باند Ku مبتنی بر ساختار شکاف باند مايكروويو

محمود تلافی نوغانی^{۱*} و پیمان علی‌پرست^۲

۱ و ۲- پژوهشگاه هواشناسی، وزارت علوم، تحقیقات و فناوری، تهران، ایران

* mtnoghani@ari.ac.ir

در این مقاله، یک محفظه یا شیلد مبتنی بر ساختار شکاف باند مايكروويو برای تقویت‌کننده توان یک فرستنده ایستگاه زمینی کوچک (VSAT) ماهواره‌ای، طراحی شده است. این ساختار شکاف باند که متشکل از آرایه‌ای از میخ‌های فلزی تعبیه شده بر روی سطح داخلی دیواره بالایی محفظه است، باعث حذف تمامی مودهای تشددیدی محفظه در محدوده فرکانس کاری باند Ku (14GHz تا 14.5GHz) می‌شود. مدار تقویت‌کننده توان، شامل یک مازول درایور و یک مازول تقویت توان ۵۰ واتی است که پس از طراحی مدار، به یک نرم‌افزار شبیه‌سازی تمام موج داده می‌شود. نتایج شبیه‌سازی تمام موج بورد مدار چاپی (PCB) به همراه شیلد و با احتساب پارامترهای پراکندگی مازول‌ها، بر عملکرد بهینه و مطلوب طرح پیشنهادی صحه می‌گذارد.

واژه‌های کلیدی: باند فرکانسی Ku، ساختار شکاف باند، شیلد، فرستنده ماهواره‌ای

حوزه الکترونیک- مخابرات به طور عام و در زیرسامانه‌های هواشناسی به صورت خاص است. این بحث، ارتباط تنگاتگی با طراحی و کارکرد تجهیزات (خصوصا در فرکانس‌های رادیویی) دارد و هدف از آن، مصنوبیت تجهیزات نسبت به سطوح و انواع خاصی از تداخلات الکترومغناطیسی (EMI) است. این تداخلات، ممکن است از خارج و یا از درون یک سیستم بروز کند. لذا باید بطور همزمان تراحمات خارجی و داخلی کنترل شده و در محدوده مناسبی نگه داشته شود [۱-۲]. موضوع سازگاری الکترومغناطیسی در سامانه‌های فضایی، هم در مورد تجهیزات مستقر بر روی ماهواره، کاوشگر یا فضاییما اهمیت دارد و هم در مورد تجهیزات ایستگاه زمینی. سازگاری بین زیرسامانه‌هایی مختلف پروازی همچون تله‌متري و مخابرات، کامپیوترا پرواز، باطری و تأمین توان، کنترل، هدایت و ناوبری، مصنوبیت نسبت به منابع نویز مصنوعی همچون سیگنال‌های مخابراتی و راداری خارجی، مصنوبیت نسبت به منابع نویز طبیعی همچون تشعشعات فضایی علاوه بر سازگاری بین

علامه و اختصارات

سازگاری الکترونیکی	Electromagnetic compatibility (EMC)
تداخلات الکترومغناطیسی	Electromagnetic Interference (EMI)
شکاف باند الکترومغناطیسی	Electromagnetic band gap (EBG)
موجبر شکافی	Gap waveguide (GapWG)
پایانه زمینی بسیار کوچک	Very small aperture terminal (VSAT)
مدارات مجتمع یکپارچه	Monolithic Macrowave Integrated Circuit (MMIC)

مقدمه

سازگاری الکترومغناطیسی (EMC)، یکی از مباحث بسیار کلیدی در

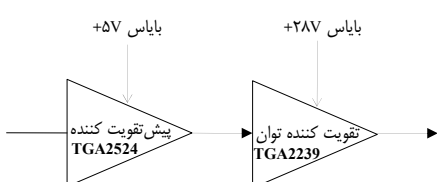
۱. استادیار (نویسنده مخاطب)
۲. استادیار

«موجبر شکافی (GapWG)» در سال ۲۰۰۹ مطرح [۵۶] و در انواع تیغه‌ای، شیاری و مایکرواستریبی توسعه داده شده است [۷۰، ۸]. از این ساختار برای طراحی محفظه مازول‌های فرکانس بالا نیز استفاده شده است [۹]. نمونه‌های دیگری از کاربرد این فناوری در یکپارچه‌سازی مدارات مجتمع یکپارچه (MMIC) با آتن‌ها تا باندهای تراهertz [۱۰] و همچنین در ایزولاسیون درگاه‌های آتن‌های رادیوتلسکوپی [۱۱] گزارش شده است. ضمن اینکه از این ساختار برای کاهش تشعشعات از خطوط مایکرواستریپ نیز استفاده شده است [۱۲ و ۱۳].

در این مقاله یک زنجیره تقویت توان دو طبقه برای ارسال داده از یک پایانه زمینی بسیار کوچک (VSAT)^۴ به ماهواره در باند فرکانسی Ku (۱۴/۵ تا ۱۴/۵ گیگاهرتز) طراحی می‌شود. سپس یک ساختار شکاف باند مایکروویو که دارای باند ممنوعه در این بازه فرکانسی است طراحی شده و مدار تقویت کننده به همراه محفظه طراحی شده بصورت یکپارچه شبیه‌سازی تمام موج می‌شود. نشان می‌دهیم که این ساختار باعث حذف کامل مودهای تشدیدی محفظه و عملکرد مطلوب تقویت کننده خواهد شد.

طراحی تقویت کننده توان

طرح یک تقویت کننده توان ۵۰ واتی در شکل ۱ نشان داده شده است. این تقویت کننده به عنوان بخش نهایی یک بلوك مبدل فرکانسی در یک VSAT استفاده می‌شود. براساس استاندارد اتحادیه بین‌المللی مخابرات (ITU) و اعلام سازمان تنظیم مقررات و ارتباطات رادیویی ایران، باند فرکانسی ۱۴ تا ۱۴/۵ گیگاهرتز برای ارتباط رو به بالا^۵ مخابرات ماهواره‌ای ثابت و متحرک قابل استفاده است.



شکل ۱- طرح بلوکی تقویت کننده توان ۵۰ واتی باند Ku

هر دو قطعه مدار فوق، یک تقویت کننده توان ساخت شرکت کوروو^۶ در محدوده فرکانسی باند Ku هستند. TGA2524 به عنوان پیش‌تقویت کننده با حداکثر توان خروجی اشباع شده ۲۶/۵ dBm و بهره سیگنال کوچک ۲۳ dB است. این قطعه برای کارکرد در محدوده فرکانسی ۱۱/۳ تا ۱۶ گیگاهرتز طراحی شده است.

زیرسامانه‌های زمینی همچون تجهیزات مختلف ایستگاه زمینی، تجهیزات پرتاپگر و محموله و مصنوبیت نسبت به نویزهای محیطی مصنوعی و طبیعی از جمله رؤوس موضوعات مورد بحث در سازگاری الکترومغناطیسی سامانه‌های فضایی است.

یکی از بخش‌های مهم در حوزه سازگاری الکترومغناطیسی، طراحی محفظه عایق الکترومغناطیسی یا شیلد است. در کاربردهای فضایی، وجود انواع منابع تداخلی درون و برون سیستمی ایجاد می‌کند که طراحی شیلد، خصوصاً برای مدارات و مازول‌های فرکانس بالای مخابراتی، با توجه ویژه‌ای صورت پذیرد. طراحی محفظه باید به گونه‌ای انجام شود که از یکسو، مدار را نسبت به فضای خارج از آن ایزوله کرده و از تداخلات خارجی به داخلی و بالعکس جلوگیری نماید و از سوی دیگر، عملکرد اجزای داخلی را تحت تاثیر قرار ندهد. در عین حال، ممکن است ابعاد مدار و شیلد آن به نحوی باشد که در محدوده فرکانسی کاری مدار دارای فرکانس تشدید طبیعی باشد. در چنین شرایطی باید از روش‌هایی برای حذف و یا به حداقل رساندن اثر تشدید محفظه استفاده کرد. کاهش حداکثری ابعاد مدار به نحویکه فرکانس مود غالب محفظه، بالاتر از فرکانس کاری مدار قرار گیرد، بهترین روش برای این منظور است. اما در بسیاری از اوقات، محدودیت‌های فیزیکی مدار چنین اجزاء‌ای نمی‌دهد. در این صورت سه رویکرد را می‌توان در پیش گرفت. اول اینکه می‌توان با تحلیل توزیع میدان‌های الکترومغناطیسی درون محفظه و مسیردهی خطوط مداری به نحویکه از محدوده‌هایی با کمترین تمرکز انرژی عبور کنند، اثرات تشدید محفظه را تقلیل داد. البته این روش به دلیل محدودیت‌های فیزیکی در طرح‌بندی^۷ بورد، چندان مؤثر نیست. رویکرد دوم، استفاده از جاذبهای الکترومغناطیسی در سطح داخلی دیواره محفظه است که در بسیاری از کاربردها می‌تواند تا حدود زیادی موثر باشد. رویکرد سوم، استفاده از ساختارهای شکاف باند الکترومغناطیسی (EBG) است. ساختارهایی متناسب که با طراحی بهینه سلول واحد، امکان انتشار و لذا بروز فرکانس تشدید در محدوده فرکانس کاری مدار را نخواهند داد [۴۹، ۵۰].

در بین مازول‌های موجود در زنجیره یک فرستنده یا گیرنده مخابراتی، موضوع تشدید محفظه شیلد در تقویت کننده‌های توان، به دلیل پذیرش توان‌های نسبی بالاتر، اهمیت بیشتری دارد. ما در این مقاله، از یک ساختار شکاف باند مایکروویو که متشکل از آرایه‌ای از میخ‌های فلزی متصل به سطح داخلی درپوش محفظه است برای حذف فرکانس‌های تشدید آن استفاده می‌کنیم. این ساختار متناسب به عنوان بستری برای ایجاد موجبرهای فشرده و فرکانس بالا به نام

⁴ Very small aperture terminal

⁵ Uplink

⁶ Qorvo

3 Layout

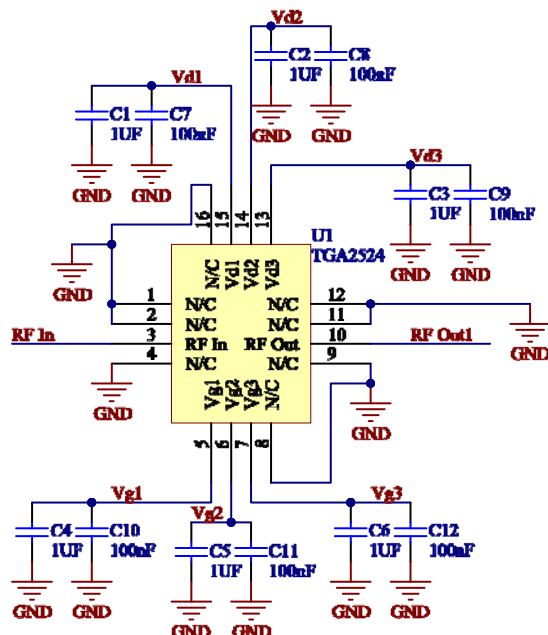
دارای بدنه تمام مس برای انتقال حرارت بالاست. همچنین دارای خازن‌های حذف DC و مدار تطبیق داخلی برای محدوده فرکانسی $13/4$ تا $15/5$ گیگاهرتز است. شماتیک طراحی مدار تغذیه و طرح‌بندی بورد مدار چاپی (PCB) در شکل ۲ آمده است. ابعاد بورد 46mm در 30mm است. از آرایه وایها در اطراف خطوط RF و همچنین لبه بورد استفاده شده است تا علاوه بر جلوگیری از تداخلات و اجتناب از زمین معلق، تشید زیرلایه به دون آن محدود شود. فضای مربوط به TGA2239 بروی بورد خالی شده است تا بدنه آن ببروی هیئت سینک مناسب (ممولا مسی) قرار گرفته و پایه‌های آن به بورد متصل شود. از راجرز (R04003C) با ضخامت 0.0008mm و ضریب دیالکتریک $3.8/3$ به عنوان زیرلایه استفاده شده است. قطر مس $50\mu\text{m}$ میکرون است. عرض خط مایکرواستریپ برای امپدانس 50Ω ، حدود 0.5mm بودست آمده است.

برای دستیابی به توان 50W در خروجی، لازم است TGA2239 در مد غیرخطی (سیگنال بزرگ) و نزدیک به اشباع عمل کرده و توانی در حدود 22dBm به ورودی آن تزریق شود. طبق اظهار دیتاشیت، مشخصات بایاس TGA2239 برای این شرایط عبارتست از: $V_D=+28\text{V}$, $I_{DQ}=900\text{mA}$, $V_G=-2.7\text{V}$ و $V_D=+5\text{V}$, $I_{DQ}=320\text{mA}$, $V_G=-0.52\text{V}$ ورودی حدود -1dBm حاصل می‌شود. در این حالت، TGA2524 کاملاً در مد خطی قرار دارد. در این مقاله، برای سهولت کار و با توجه به دردسترس بودن پارامترها و بدون اینکه کلیت موضوع تحت تاثیر قرار گیرد، از پارامترهای S سیگنال کوچک اندازه‌گیری شده توسط شرکت سازنده برای هر دو آی‌سی استفاده می‌کنیم. ساختار شیلدی که طراحی می‌شود، مستقل از اینکه تقویت کننده در ناحیه خطی (سیگنال کوچک) یا غیرخطی عمل می‌کند کارکرد حذف تشید محفوظه در محدوده فرکانسی مورد نظر را خواهد داشت.

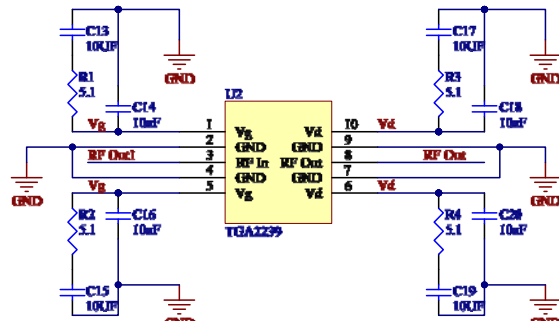
طراحی شیلد مبتنی بر ساختار شکاف باند

براساس تئوری انتشار موج، چنانچه یک صفحه هادی کامل الکتریکی (PEC) و یک صفحه هادی کامل مغناطیسی (PMC) در فاصله کمتر از ربع طول موج نسبت بهم قرار داشته باشند، امکان انتشار موج الکترومغناطیسی در فضای بین آنها وجود ندارد [۴]. آرایه‌ای دو بعدی از عناصر فلزی متناوب که مشخصات هندسی آن بدرستی تنظیم شده باشد، می‌تواند برای یک ناجیه فرکانسی معین در نقش یک هادی مغناطیسی مصنوعی (AMC)^۷ عمل کرده و

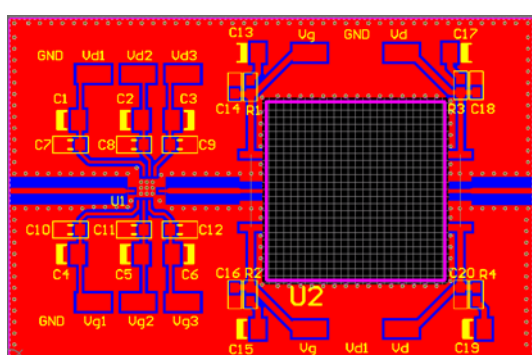
TGA2239 یک تقویت‌کننده توان سه طبقه با حداکثر بهره سیگنال کوچک 30dB و حداکثر توان خروجی 47dBm است.



الف



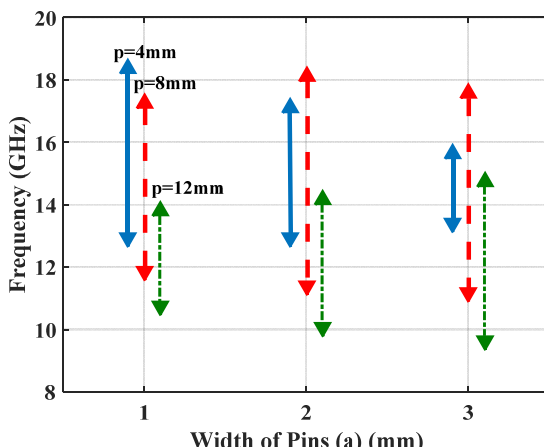
ب



ج

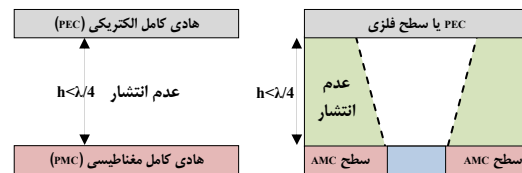
شکل ۲- طراحی مدار (شماتیک) پیش تقویت کننده (الف) و تقویت کننده توان Ku (ب) و تقویت کننده توان ۵۰ واتی باند (ج)

می‌گیریم. لذا فرکانس انتهای باند 17 GHz و طول موج آن 17.6 mm خواهد بود. در نتیجه قید $h < 4.4 \text{ mm}$ باید برآورده شود. از طرف دیگر، باید فاصله هواپی به اندازه‌ای بزرگ باشد که تداخلی با ارتفاع قطعات بورد نداشته باشد. برای این منظور قید $h > 2/5 \text{ mm}$ را در نظر می‌گیریم. در اینصورت، مقدار $2/76.5 \text{ mm}$ را برای h در نظر می‌گیریم که حاصل کسر کردن ضخامت زیرلایه (0.2 mm) و مس (از عدد 3 mm است که در محدوده قبود قرار دارد) می‌گیرد. در گام دوم، پارامتر d را تعیین می‌کنیم. برای جلوگیری از انتشار امواج مود TM ، لازم است شرط $d + h < \lambda_{\text{end}}/2$ برقرار شود. یعنی باید $d < 6 \text{ mm}$ باشد که ما d را 5 mm در نظر می‌گیریم. در گام سوم، پارامترهای a و p را معین می‌کنیم. این کار را با استفاده از شبیه‌سازی و تحلیل پارامتری انجام می‌دهیم. در ابتدا برای پارامتر a باید در نظر داشته باشیم که حداقل قطر میخ باید به اندازه‌ای باشد که از نظر ساخت و استحکام مکانیکی مناسب باشد. لذا حداقل قطر را 1 mm در نظر می‌گیریم. از طرف دیگر، قطر میخها باید از دوره تناوب ساختار p کوچکتر باشد تا میخهای مجاور بهم متصل نشوند. برای پارامتر p نیز باید توجه شود که حداقل 2 یا 3 دیف از میخها در هر ضلع جعبه وجود داشته باشد تا تضعیف مودهای تشیدی به خوبی انجام گیرد. لذا باید $p < 15 \text{ mm}$ باشد. بر این اساس، تحلیل پارامتری را برای سه قطر $3, 2, 1 \text{ mm}$ و به ازای دوره تناوبهای $p=4, 8, 12 \text{ mm}$ انجام می‌دهیم (شکل ۵). همانطور که ملاحظه می‌شود، با تغییر a ، فرکانس مرکزی شکاف افزایش یا کاهش می‌ماند اما متناسب با مقدار p ، پهنای شکاف، افزایش یا کاهش می‌دهد. شکل ۵ نشان می‌دهد که مقدار $p=8 \text{ mm}$ برای همه مقادیر a ، ناحیه مورد نظر برای شکاف باند (۱۲ تا 17 GHz) را در بر می‌گیرد. به منظور سبک‌سازی حداکثری جعبه، کمترین قطر (از $a=1 \text{ mm}$) را در نظر می‌گیریم.



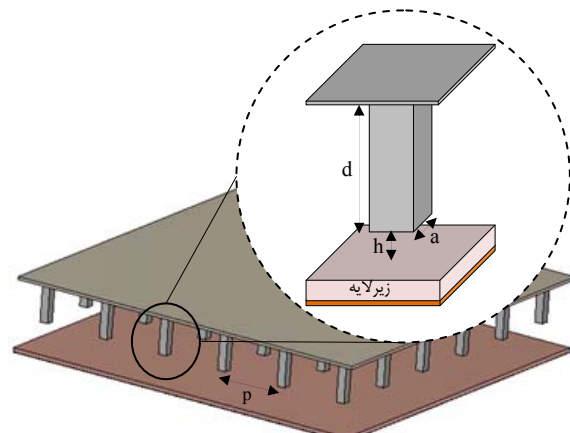
شکل ۵- تغییر شکاف باند ساختار به ازای مقادیر مختلف a و p برای $d=5 \text{ mm}$ و $h=2/76.5 \text{ mm}$

ویژگی فوق را فراهم آورد. در این حالت، یک ناپیوستگی به فرم یک نوار فلزی درون AMC بصورت یک موجبر عمل می‌کند (شکل ۳).



شکل ۳- اصول عملکرد ساختار و موجبر شکافی

وجود یک ساختار AMC (مثل درپوشی از میخ‌های فلزی) در بالای بورد مدار چاپی، دو ناحیه PEC (صفحه زمین زیرلایه) و PMC (میخ‌های فلزی) را ایجاد می‌کند (شکل ۴). با تنظیم ابعاد میخ‌ها و دوره تناوب آرایه می‌توان باند فرکانسی ممنوعه (شکاف باند) ساختار را تنظیم کرد. به این ترتیب رزونانسهای حفره درون محفظه فلزی و همچنین تزویج (از طریق هوا و از طریق زیرلایه) بین قطعات مجاور به میزان قابل ملاحظه‌ای کاهش یابد.



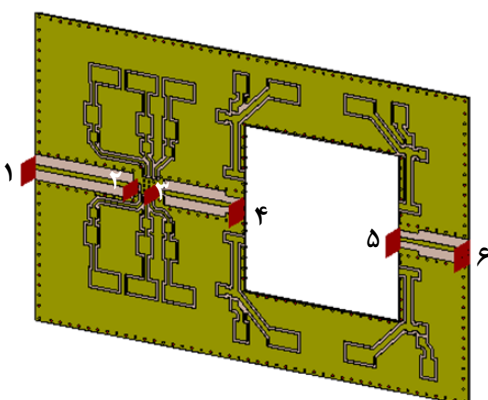
شکل ۴- ساختار درپوش فلزی و مشخصات هندسی سلول واحد آرایه

از آنجا که روابط بسته ساده برای تحلیل و طراحی چنین ساختار شکاف باندی وجود ندارد، در اینجا از شبیه‌سازی عددی به عنوان ابزاری برای تحلیل پارامتری ساختار و در نتیجه دستیابی به مشخصات هندسی مناسب برای رفتار فرکانسی مورد نظر استفاده می‌شود.

در طراحی ساختار متناوب شکل ۴، باید مقادیر چهار پارامتر h , d , a و p تعیین شود. در گام اول، پارامتر h را تعیین می‌کنیم. دو قید بالا و پایین برای آن وجود دارد. برای جلوگیری از انتشار امواج مود TM در بین دو صفحه AMC و PEC باید شرط $h < \lambda_{\text{end}}/4$ برقرار شود. محدوده طول موج متناظر با فرکانس انتهای شکاف باند مورد نظر است. محدوده فرکانس کاری مدار تقویت‌کننده توان، $14/5$ تا $14/4$ گیگاهرتز است اما برای اطمینان از تضعیف کامل موج در این محدوده، پهنای ۱۲ تا 17 GHz را برای شکاف باند در نظر

با ابعاد طولی و عرضی PCB شکل ۲ و ارتفاع ۱۰mm، نتیجه تحلیل مودی نشان می‌دهد که فرکانس قطع مود غالب آن ۵/۷GHz بوده و دارای هفت مود تشیدیدی با فرکانس کمتر از ۱۵GHz است. دو فرکانس تشیدید در محدوده ۱۴/۵GHz تا ۱۴/۵GHz وجود دارد که بیشترین تاثیر را بروی عملکرد مدار خواهد داشت.

حال به شبیه‌سازی تمام موج مدار می‌بردازیم. در گام اول، ساختار PCB را درون محفظه ساده فلزی و بدون احتساب پارامتر S بلوکها شبیه‌سازی می‌کنیم. در شکل ۸، ضریب انتقال خطوط انتقال بین درگاه‌های ۱-۲، ۳-۴ و ۵-۶ که در شکل ۷ تعریف شده‌اند، نشان داده شده است. اثر تشیدید محفظه در محدوده فرکانسی ۱۴/۵ تا ۱۴/۵GHz گیگاهرتز به وضوح نمایان است. علاوه بر اینکه در محدوده ۱۳/۵ تا ۱۴/۵ همچنین ۱۵ تا ۱۵ نیز تشیدیدهایی با دامنه محدودتر مشاهده می‌شود. در گام دوم، پارامتر S بلوکهای تقویت کننده را به ساختار اضافه می‌کنیم. ماتریس s2p و ماتریس s2p تقویت کننده (TGA2524) بین درگاه ۲ و ۳ و ماتریس s2p تقویت کننده (TGA2239) بین درگاه ۴ و ۵ قرار گرفته است. در شکل ۹، مدل شماتیک کل مدار با احتساب پارامترهای S به همراه نتایج تحلیل تمام موج، با نتایج تحلیل صرفاً مداری که حاصل پشت سرهم قرار گرفتن ماتریس S طبقات است مقایسه شده است. نتایج قابل ملاحظه تحلیل تمام موج با تحلیل مداری ناشی از تشیدیدهای محفظه است که باید حذف شوند تا عملکرد مدار حفظ شود. شایان ذکر است که افزایش ضریب انعکاس (Sin,in) به بیش از ۰dB^۹، ناشی از اثر تشیدید محفظه است. بخشی از توان ورودی به مدار، پس از عبور از دو طبقه تقویت کننده توان، به دلیل تشیدید محفظه در فرکانس‌های معین، از طریق مسیر هوایی (فضای داخل محفظه) به درگاه ورودی کوپل شده و باعث افزایش توان برگشتی به بیش از مقدار توان تزریق شده به مدار می‌شود. انتظار بر این است که با اضافه شدن ساختار شکاف باند به محفظه و حذف تشیدید، این پدیده از بین برود.

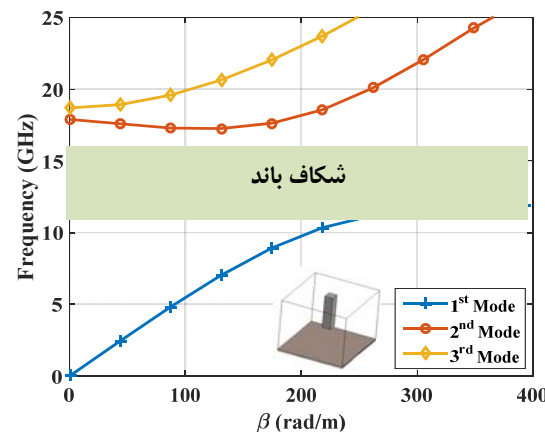


شکل ۷- PCB وارد شده در CST به همراه درگاه‌های موجبری

مقادیر نهایی پارامترهای ساختار درپوش طراحی شده، در جدول ۱ آمده است. منحنی پاشندگی (ثبت انتشار β بر حسب فرکانس) ساختار به ازای مقادیر جدول ۱ در شکل ۶ آمده است. از نرم‌افزار شبیه‌سازی CST و تحلیل مودی ۹ آن برای استخراج مشخصه پاشندگی سه مود اول ساختار استفاده شده است.

جدول ۱- ابعاد بهینه شده سلول واحد

پارامتر	مقادیر (mm)
۱	a: عرض میخ
۵	d: ارتفاع میخ
۲/۷۶۵	h: فاصله هوایی
۸	p: دوره تناب



شکل ۶- منحنی پاشندگی و شکاف باند ساختار طراحی شده

شبیه‌سازی تمام موج ساختار

برای شبیه‌سازی تمام موج کل ساختار تقویت کننده به همراه شیلد، لازم است ابتدا PCB مدار را به محیط CST وارد ^{۱۰} کنیم. اینکار با خروجی گرفتن از محیط طراحی PCB Altium^{۱۱} در قالب فرمت ODB++ مقدور است. سپس باید در ورودی و خروجی مدار و همچنین ورودی و خروجی آی‌سی‌ها درگاه موجبری ^{۱۲} تعریف شود. در مجموع یک شیله با شش درگاه ایجاد می‌شود (شکل ۷). ارتباط بین درگاه ورودی و خروجی آی‌سی‌ها نیز توسط پارامتر S (s2p) ^{۱۲} ایجاد می‌شود. به این ترتیب، ساختار برای شبیه‌سازی آماده می‌شود.

قبل از شبیه‌سازی مدار، برای شناخت فرکانس‌های تشیدید محفوظه، تحلیل مودی انجام می‌دهیم. برای یک محفوظه ساده فلزی

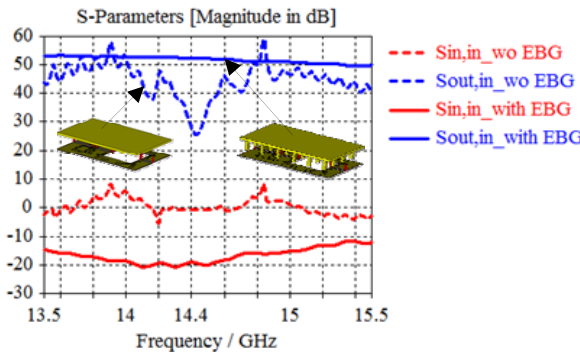
9 Eigenmode solver

10 Import

11 Altium

12 Waveguide port

نتایج تحلیل تمام موج ساختار شکل ۱۰ در شکل ۱۱ آمده است. اثر تشدید محفظه به میزان بسیار زیادی حذف شده و رفتار مدار به رفتار مطلوب رسیده است. این نتیجه نشان می‌دهد که استفاده از ساختار شکاف باند، راهکاری موثر برای حذف تشدید در محفظه‌های فلزی است.



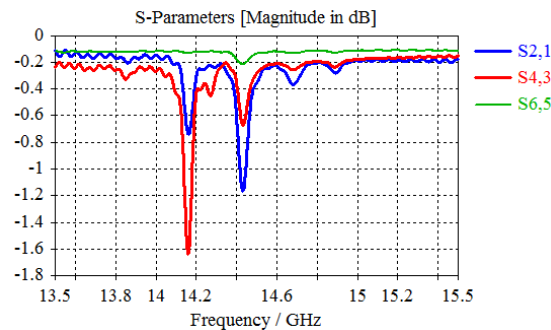
شکل ۱۱- نتایج تحلیل تمام موج مدار؛ در دو حالت درپوش شکاف باند و درپوش ساده

نتیجه‌گیری

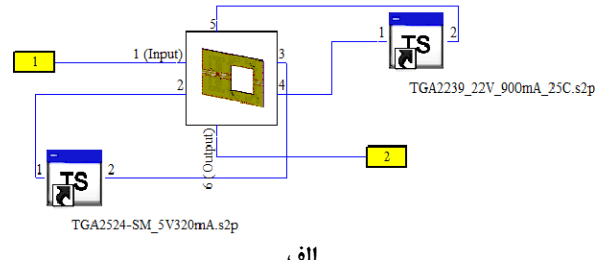
سازگاری الکترومغناطیسی، یکی از مباحث اساسی در مدارات و زیرسازمانه‌های الکترونیکی و مخابراتی هوافضایی است به نحویکه استانداردهای مختلفی برای احراز این موضوع در سطح بین‌المللی تدوین شده است. در این میان، طراحی شیلد، یکی از موضوعات مهم در بحث سازگاری الکترومغناطیسی است که در تجهیزات فضایی و همچنین ایستگاههای زمینی باید مورد توجه قرار گیرد تا ضمن مقاوم سازی تجهیزات نسبت به نویزهای بیرونی، عملکرد صحیح خود تجهیز را نیز فراهم کند. در این مقاله، یک ساختار شکاف باند مایکروویو مبتنی بر آرایه‌ای از میخهای فلزی به عنوان درپوش برای تقویت کننده توان دو طبقه بلوك فرستنده یک ایستگاه زمینی کوچک (VSAT) در باند فرکانسی $\frac{14}{5}$ تا $14/7$ S/m باشد. استفاده از ساختار شکاف باند، باعث حذف فرکانس‌های تشدید محفظه و در نتیجه عملکرد صحیح مدار تقویت توان می‌شود. نتایج شبیه‌سازی تمام موج مدار به همراه درپوش، صحت این موضوع را اثبات می‌کند. از این ساختار می‌توان برای افزایش ایزولاسیون بین بلوك‌های مداری فرستنده یا گیرندهای مخابراتی فرکانس بالا نیز بهره برد.

مراجع

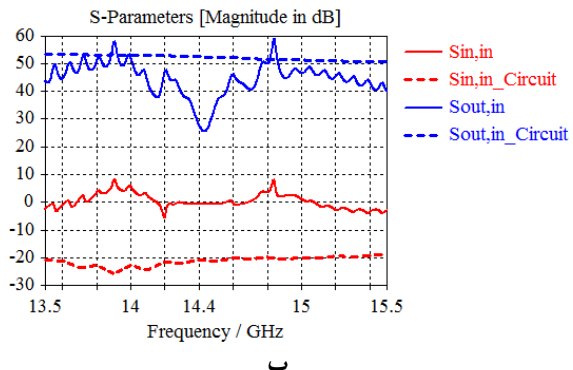
- [1] Paul, C.R., *Introduction to Electromagnetic Compatibility*, 2nd Ed., John Wiley & Sons, 2006.



شکل ۸- ضریب انتقال خطوط انتقال بین درگاههای ۱-۲، ۳-۴ و ۵-۶ در حالت محفظه ساده

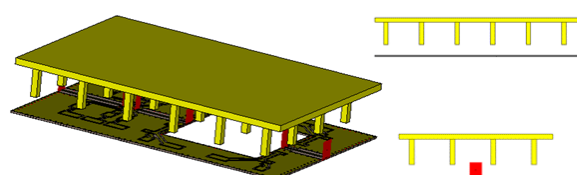


الف



شکل ۹- (الف) شماتیک کل مدار و (ب) نتایج تحلیل تمام موج ساختار محفظه ساده

در گام سوم و برای حذف تشدید محفظه، درپوشی مشکل از ساختار شکاف باند طراحی شده در بخش قبل از جنس آلمینیوم تلقای با ضریب هدایت 10^7 S/m با ابعاد سولول واحد مطروحه در جدول ۱ را برروی مدار قرار می‌دهیم. ساختاری با ۴ ردیف و ۶ ستون در ابعاد PCB جای می‌گیرد. میخهای در پوش با فاصله کافی نسبت به خطوط RF قرار گرفته‌اند تا اثر بارگذاری نداشته باشند.



شکل ۱۰- درپوش محفظه مبتنی بر ساختار شکاف باند برروی مدار

Thesis for the degree of Doctor of Philosophy, Chalmers, Sweden, 2013.

- [9] Zaman, A. U., Iglesias E. R., and Kildal P. S., "Prospective new PMC Based Gap Waveguide Shielding for Microwave Modules." *Proceedings of IEEE International Symposium on Electromagnetic Compatibility (EMC Europe 2014)*, Gothenburg, Sweden, Sept. 2014.
- [10] Kildal, P., Maci S., Valero-nogueira A., Kishk A. and Rajo-iglesias E., "The Gap Waveguide as a Metamaterial-based Electromagnetic Packaging Technology Enabling Integration of MMICs and Antennas up to THz," *Proceedings of the 5th European Conference on Antenna and Propagation*, Rome, Italy, 2011, pp. 3715–3718.
- [11] Zaman, A. U., Yang, J. and Kildal, P., "Using Lid of Pins for Packaging of Microstrip Board for Descrambling the Ports of Eleven Antenna for Radio Telescope Applications," *IEEE Antennas and Propagation Society International Symposium*, Toronto, Canada, 2010.
- [12] Zhang, J., Zhang, X., Shen, D. and Kishk, A. A. "Design of packaged microstrip line." *IEEE International Conference on Microwave and Millimeter Wave Technology (ICMWT)*, vol. 1, 2016, pp. 82-84.
- [13] Zhang, J., "Dielectric Filled Printed Gap Waveguide for Millimeter Wave Applications" Thesis for the degree of Doctor of Philosophy, Concordia, Canada, 2017.

- [2] Armstrong, K., *Design Techniques for EMC, EMC Compliance Journal*, 2006-2009.
- [3] Rahmat-Samii, Y. and Mosallaei, H., "Electromagnetic Band-Gap Structures: Classification, Characterization, and Applications," *2001 Eleventh International Conference on Antennas and Propagation, (IEE Conf. Publ. No. 480)*, Manchester, UK, vol.2, 2001, pp. 560-564.
- [4] De Maagt, P., Gonzalo, R., Vardaxoglou, J. and Baracco, J-M, "Review of electromagnetic-bandgap technology and applications," *URSI Radio Science Bulletin*, No. 309, June 2004, pp.11-25.
- [5] Kildal, P., Alfonso, E., Valero-Nogueira, A., Rajo-Iglesias, E. "Local metamaterial-based waveguides in gaps between parallel metal plates," *IEEE Antennas Wirel. Propag. Lett.*, vol. 8, 2009, pp. 84–87.
- [6] Kildal, P. S., "Three metamaterial-based gap waveguides between parallel metal plates for mm/submm waves," *Proceedings of the Third European Conference on Antennas and Propagation, EuCAP*, 2009, pp. 28–32.
- [7] Rajo-Iglesias, E., and Kildal, P. S., "Numerical studies of bandwidth of parallel-plate cut-off realised by a bed of nails, corrugations and mushroom-type electromagnetic bandgap for use in gap waveguides," *IET Microwaves, Antennas & Propagation*, vol. 5, no. 3, pp. 282–289, 2011.
- [8] Pucci, E., "Gap Waveguide Technology for Millimeter Wave Applications and Integration with Antennas"